









**Table 1** Impossible differential trails of SIMON

**表 1** SIMON 不可能差分路径

SIMON不可能差分路径		
$(0,0,0,v_0) \rightarrow (0,v_7,0,0)$	$(0,0,0,v_0) \rightarrow (v_1,0,0,0)$	$(0,0,0,v_1) \rightarrow (v_2,0,0,0)$
$(0,0,0,v_1) \rightarrow (v_0,0,0,0)$	$(0,0,0,v_2) \rightarrow (v_3,0,0,0)$	$(0,0,0,v_2) \rightarrow (v_1,0,0,0)$
$(0,0,0,v_3) \rightarrow (v_2,0,0,0)$	$(0,0,0,v_3) \rightarrow (v_4,0,0,0)$	$(0,0,0,v_4) \rightarrow (v_3,0,0,0)$
$(0,0,0,v_4) \rightarrow (v_5,0,0,0)$	$(0,0,0,v_5) \rightarrow (v_4,0,0,0)$	$(0,0,0,v_5) \rightarrow (v_6,0,0,0)$
$(0,0,0,v_6) \rightarrow (v_5,0,0,0)$	$(0,0,0,v_6) \rightarrow (v_7,0,0,0)$	$(0,0,0,v_7) \rightarrow (0,v_0,0,0)$
$(0,0,0,v_7) \rightarrow (v_6,0,0,0)$	$(0,0,v_0,0) \rightarrow (0,v_1,0,0)$	$(0,0,v_0,0) \rightarrow (v_7,0,0,0)$
$(0,0,v_1,0) \rightarrow (0,v_0,0,0)$	$(0,0,v_1,0) \rightarrow (0,v_2,0,0)$	$(0,0,v_2,0) \rightarrow (0,v_1,0,0)$
$(0,0,v_2,0) \rightarrow (0,v_3,0,0)$	$(0,0,v_3,0) \rightarrow (0,v_2,0,0)$	$(0,0,v_3,0) \rightarrow (0,v_4,0,0)$
$(0,0,v_4,0) \rightarrow (0,v_3,0,0)$	$(0,0,v_4,0) \rightarrow (0,v_5,0,0)$	$(0,0,v_5,0) \rightarrow (0,v_4,0,0)$
$(0,0,v_5,0) \rightarrow (0,v_6,0,0)$	$(0,0,v_6,0) \rightarrow (0,v_5,0,0)$	$(0,0,v_6,0) \rightarrow (0,v_7,0,0)$
$(0,0,v_7,0) \rightarrow (0,v_6,0,0)$	$(0,0,v_7,0) \rightarrow (v_0,0,0,0)$	-

2.3.2 32 条不可能差分路径验证

中间相错技术的基本原理是:加密方向  $\Delta X \xrightarrow{E_1} \Delta M$  寻找一条概率为 1 的差分路径;接着,在解密方向  $\Delta Y \xrightarrow{D_1} \Delta N$  也寻找一条概率为 1 的差分路径.寻找到一条概率为 1 的差分路径,但  $\Delta M \neq \Delta N$ ,构成矛盾,从而形成不可能差分.如图 2 所示.

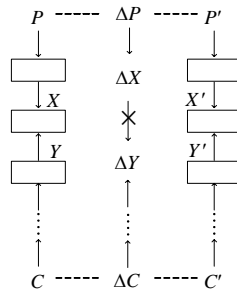


Fig.2 Schematic diagram of miss-in-the-middle

图 2 中间相错示意图

我们利用中间相错技术,对 32 轮不可能差分结果进行了验证,例如  $(0,0,0,v_7) \rightarrow (v_6,0,0,0)$  这条路径,验证结果在表 2 中给出,表 2 中的问号,即代表我们无法确定该比特位是 1 还是 0.

**Table 2** Result of miss-in-the-middle

**表 2** 中间相错结果

不可能差分路径验证	
$\Delta L_0(0,0,0,0,0,0,0,0,0,0,0,0,0,0,0,0)$	$\Delta R_0(0,0,0,0,0,0,0,0,1,0,0,0,0,0,0,0)$
$\Delta L_1(0,0,0,0,0,0,0,0,0,1,0,0,0,0,0,0)$	$\Delta R_1(0,0,0,0,0,0,0,0,0,0,0,0,0,0,0,0)$
$\Delta L_2(?,0,0,0,0,0,1,?,0,0,0,0,0,0,0,0)$	$\Delta R_2(0,0,0,0,0,0,0,0,1,0,0,0,0,0,0,0)$
$\Delta L_3(0,0,0,0,1,?,?,0,0,0,0,0,?,?,?)$	$\Delta R_3(?,0,0,0,0,0,1,?,0,0,0,0,0,0,0,0)$
$\Delta L_4(?,0,1,?,?,?,?,0,0,0,0,?,?,?)$	$\Delta R_4(0,0,0,0,1,?,?,0,0,0,0,0,?,?)$
$\Delta L_5(1,?,?,?,?,?,0,0,?,?,?,?,?)$	$\Delta R_5(?,0,1,?,?,?,0,0,0,0,?,?,?)$
$\Delta L_6(?,?,?,?,?,?,?,?,?,?,?,?)$	$\Delta R_6(1,?,?,?,?,0,?,0,?,?,?,?)$
$\Delta L_6(?,0,0,0,?,?,?,0,0,1,?,?,?)$	$\Delta R_6(0,?,0,?,?,?,?,1,?,?,?)$
$\Delta L_7(?,0,0,0,0,0,?,0,0,0,0,1,?,?)$	$\Delta R_7(?,0,0,0,0,?,?,0,?,0,1,?,?)$
$\Delta L_8(?,0,0,0,0,0,0,?,0,0,0,0,1,?)$	$\Delta R_8(0,?,0,0,0,0,?,0,0,0,0,1,?)$
$\Delta L_9(0,1,0,0,0,0,0,0,0,0,0,0,0,0,0)$	$\Delta R_9(?,0,0,0,0,0,0,?,0,0,0,0,0,1)$
$\Delta L_{10}(0,0,0,0,0,0,0,0,0,0,0,0,0,0,0)$	$\Delta R_{10}(0,1,0,0,0,0,0,0,0,0,0,0,0,0,0)$
$\Delta L_{11}(0,1,0,0,0,0,0,0,0,0,0,0,0,0,0)$	$\Delta R_{11}(0,0,0,0,0,0,0,0,0,0,0,0,0,0,0)$

从表 2 中可以看到,差分  $(\Delta L_0, \Delta R_0)$  (即  $(0,0,0,v_7)$ ) 向下传递 6 轮与差分  $(\Delta L_{11}, \Delta R_{11})$  (即  $(v_6,0,0,0)$ ) 向上传递 5 轮以后,在  $(\Delta L_6, \Delta R_6)$  相遇.观察差分前后传递得到的  $\Delta R_6$  值,  $(1,?,?,?,?,0,?,0,?,?,?,?)$  与  $(0,?,0,?,?,?,1,?,?,?)$  在最高比特位构成矛盾.

### 3 SIMON 零相关路径搜索

目前,关于 SIMON 的 11 轮零相关路径由 Wang 等人<sup>[21]</sup>给出.本节提出一种基于 SAT 的 SIMON 零相关路径自动搜索算法,利用该算法,可以快速地给出 SIMON 的 32 条 11 轮不可能差分路径.第 3.1 节介绍 SIMON 轮函数的线性传播性质;第 3.2 节给出基于 SAT 的 SIMON 零相关路径搜索方法;第 3.3 节给出 SIMON 条 11 轮零相关路径.

#### 3.1 SIMON 轮函数的线性传播性质

与(AND)运算对 SIMON 线性掩码的传递有着重要影响,Kölbl 等人<sup>[13]</sup>对非线性组件与进行了深入的研究,并给出了一些能够精确描述 SIMON 轮函数线性传播性质的表达式.

定理 3<sup>[13]</sup>. SIMON 算法中,  $u \xrightarrow{f} v$  的平方线性相关系数  $C(u \rightarrow v)$  为

$$C(u \rightarrow v) = \begin{cases} 2^{-n+2}, & \text{if } v = 1 \text{ and } u \in U_{1/v} \\ 2^{-\theta(v)}, & \text{if } v \neq 1 \text{ and } u \in U_{1/v}. \\ 0, & \text{else} \end{cases}$$

#### 3.2 零相关分路径搜索算法

本节中,首先构造描述 SIMON 轮函数线性传播性质的约束式,然后,利用约束式构造一个用于自动搜索 SIMON 零相关路径的算法.

由第 3.1 节可知,若  $u \rightarrow v$  有效当且仅当  $u \in U_{1/v}$ .为得到一条有效的线性路径,我们构造如下的约束式:

$$\begin{aligned} & u = u \oplus S^{-c}(v) \\ & ((S^{-a}(v) | S^{-b}(v)) \oplus u) \odot u \neq 0 \\ & \text{if } (f, v = (2^n - 1)) \\ & \quad t, l = u, 0 \\ & \quad \text{while } t \neq 0 \\ & \quad \quad l = l \oplus (t \odot 3) \\ & \quad \quad t = (t \gg 2) \\ & \quad l = 0 \\ & \text{else} \\ & \quad tmp = v \\ & \quad abits = v \\ & \quad \text{while } tmp \neq 0 \\ & \quad \quad tmp = v \odot S^{-(a-b)}(tmp) \\ & \quad \quad abits = abits \oplus tmp \\ & \quad sbits = S^{-(a-b)}(v) \odot (-v) \odot (-S^{-(a-b)}(abits)) \\ & \quad sbits = S^{-b}(sbits) \\ & \quad pbits = 0 \\ & \quad \text{while } sbits \neq 0 \\ & \quad \quad pbits^{\wedge} = sbits \odot u \\ & \quad \quad sbits = S^{a-b}(sbits) \odot S^{-b}(v) \\ & \quad \quad sbits = S^{a-b}(sbits) \\ & \quad \quad pbits = S^{2*(a-b)}(pbits) \\ & \quad pbits = 0 \end{aligned} \quad (2)$$

结合约束式(2),我们构造了一种用于搜索 SIMON 零相关路径的算法.该算法是一种遍历算法,通过穷举特

定的输入输出掩码集合 $(\Delta, \Gamma)$ ,判断每一对输入输出掩码是否构成一条有效线性路径:若否,则输出一条零相关路径.考虑到 SIMON 的分组长度.我们无法遍历所有可能的输入输出掩码, $(\Delta, \Gamma)$ 只是掩码全集中一个子集,该算法如算法 2 所示.

**算法 2.** SIMON 零相关路径搜索.

```
//SIMON 的分组长度为 n
//将所有刻画 SIMON 轮函数线性传播特性的约束式写入 model.cvc
1 Write all the constraints into model.cvc
//检测是否有一对输入输出线性掩码构成一条零相关路径
2 for the given input mask  $\Delta x_i \in \Delta$  do
3   for the given output mask  $\Delta y_i \in \Gamma$  do
4     Modify constraints on the fixed input
       and output masks of model.cvc
5      $m = \text{dispose}(\text{model.cvc})$ 
6     if  $m == \text{Invalid}$  then
7       //输出零相关路径
       print input and output mask
8     else then
9       print nothing
10    end
11 end
```

### 3.3 11轮SIMON零相关路径

类似于搜索不可能差分,我们只考虑输入输出掩码重量均为 1 的情况.利用第 3.2 节中的算法,我们共找到 32 条零相关路径,见表 3.

**Table 3** Zero-Correlation linear trails of SIMON  
**表 3** SIMON 零相关路径

SIMON零相关路径		
$(0, v_0, 0, 0) \rightarrow (0, 0, 0, v_7)$	$(0, v_0, 0, 0) \rightarrow (0, 0, v_1, 0)$	$(0, v_1, 0, 0) \rightarrow (0, 0, v_0, 0)$
$(0, v_1, 0, 0) \rightarrow (0, 0, v_2, 0)$	$(0, v_2, 0, 0) \rightarrow (0, 0, v_1, 0)$	$(0, v_2, 0, 0) \rightarrow (0, 0, v_3, 0)$
$(0, v_3, 0, 0) \rightarrow (0, 0, v_2, 0)$	$(0, v_3, 0, 0) \rightarrow (0, 0, v_4, 0)$	$(0, v_4, 0, 0) \rightarrow (0, 0, v_3, 0)$
$(0, v_4, 0, 0) \rightarrow (0, 0, v_5, 0)$	$(0, v_5, 0, 0) \rightarrow (0, 0, v_4, 0)$	$(0, v_5, 0, 0) \rightarrow (0, 0, v_6, 0)$
$(0, v_6, 0, 0) \rightarrow (0, 0, v_5, 0)$	$(0, v_6, 0, 0) \rightarrow (0, 0, v_7, 0)$	$(0, v_7, 0, 0) \rightarrow (0, 0, v_6, 0)$
$(0, v_7, 0, 0) \rightarrow (0, 0, v_6, 0)$	$(v_0, 0, 0, 0) \rightarrow (0, 0, 0, v_1)$	$(v_0, 0, 0, 0) \rightarrow (0, 0, v_7, 0)$
$(v_1, 0, 0, 0) \rightarrow (0, 0, 0, v_0)$	$(v_1, 0, 0, 0) \rightarrow (0, 0, 0, v_2)$	$(v_2, 0, 0, 0) \rightarrow (0, 0, 0, v_1)$
$(v_2, 0, 0, 0) \rightarrow (0, 0, 0, v_3)$	$(v_3, 0, 0, 0) \rightarrow (0, 0, 0, v_2)$	$(v_3, 0, 0, 0) \rightarrow (0, 0, 0, v_4)$
$(v_4, 0, 0, 0) \rightarrow (0, 0, 0, v_3)$	$(v_4, 0, 0, 0) \rightarrow (0, 0, 0, v_5)$	$(v_5, 0, 0, 0) \rightarrow (0, 0, 0, v_4)$
$(v_5, 0, 0, 0) \rightarrow (0, 0, 0, v_6)$	$(v_6, 0, 0, 0) \rightarrow (0, 0, 0, v_5)$	$(v_6, 0, 0, 0) \rightarrow (0, 0, 0, v_7)$
$(v_7, 0, 0, 0) \rightarrow (0, 0, 0, v_6)$	$(v_7, 0, 0, 0) \rightarrow (0, 0, v_0, 0)$	-

由于线性传播特性刻画复杂,上述结果的搜索时间约为 17min.

## 4 不可能差分路径搜索算法的其他应用

### 4.1 SIMON不可能差分存在性证明

本文提出的算法除用于自动化搜索不可能差分外,还可以快速判断给定的输入输出差分是否能构成一条有效路径.我们将输入差分分成左右两部分(左右各为 16bit),并将左半部分设为 0x0000,右半部分从 0x0000 遍历到 0xFFFF,接着设定输出差分重量为 1.通过遍历上述集中所有可能的输入输出差分,我们确定在该集合下

SIMON 最长不可能差分的轮数确为 11 轮.上述结果的搜索时间为 21h,如果计算能力允许,还可给出比现有结果更强的结论.

#### 4.2 SIMON 循环移位常数选取分析

SIMON 设计者从未给出图 1 中循环移位常数(8,1,2)的选取思路.我们尝试从抵抗不可能差分的角度,来分析循环移位常数对 SIMON 安全性的影响,希望能起到一些抛砖引玉的作用.

Kölbl 等人<sup>[13]</sup>主要从抵抗差分攻击的角度对循环移位常数的选取进行了分析.通过研究 SIMON 循环移位常数对其扩散性的影响,文献[13]从所有可能的移位常数 $(a,b,c)$ 中选出一个集合 $\Delta$ ,由 $\Delta$ 中元素构成的 SIMON32, SIMON48, SIMON64 算法,均有类似于标准算法的 10 轮差分概率,具有较好的扩散性和抵抗差分攻击能力.见表 4.

**Table 4** Cyclic shift constant set of SIMON

**表 4** SIMON 循环移位常数选取集合

循环移位常数 $(a,b,c)$ 选取集合			
(1,0,2)	(1,0,3)	(2,1,3)	(4,3,5)
(5,0,10)	(5,0,15)	(5,4,3)	(7,0,14)
(7,6,5)	(8,1,3)	(8,3,14)	(8,7,5)
(10,5,15)	(11,6,1)	(12,1,7)	(12,5,3)
(12,7,1)	(13,0,10)	(13,0,7)	(13,8,2)

分别对 $\Delta$ 中元素构成的 SIMON 算法进行不可能差分路径搜索,以测试其抵抗不可能差分攻击的能力.利用自动搜索算法,设定输入输出重量均为 1,分别对 $\Delta$ 中元素构成的 SIMON 算法进行 11 轮不可能差分路径搜索,结果见表 5;利用自动搜索算法,设定输入输出重量均为 1,分别对 $\Delta$ 中元素构成的 SIMON 算法进行 12 轮不可能差分路径搜索,结果见表 6.

**Table 5** Impossible differential trails of 11-round SIMON with different parameters

**表 5** SIMON 不同参数 11 轮不可能差分路径

SIMON 不同参数 11 轮不可能差分路径搜索结果			
(1,0,2)	(1,0,3)	(2,1,3)	(4,3,5)
1008 条	464 条	464 条	96 条
(5,0,10)	(5,0,15)	(5,4,3)	(7,0,14)
1008 条	464 条	96 条	1008 条
(7,6,5)	(8,1,3)	(8,3,14)	(8,7,5)
464 条	464 条	1008 条	464 条
(10,5,15)	(11,6,1)	(12,1,7)	(12,5,3)
464 条	464 条	96 条	96 条
(12,7,1)	(13,0,10)	(13,0,7)	(13,8,2)
96 条	1008 条	464 条	1008 条

**Table 6** Impossible differential trails of 12-round SIMON with different parameters

**表 6** SIMON 不同参数 12 轮不可能差分路径

SIMON 不同参数 12 轮不可能差分路径搜索结果			
(1,0,2)	(1,0,3)	(2,1,3)	(4,3,5)
944 条	176 条	176 条	0 条
(5,0,10)	(5,0,15)	(5,4,3)	(7,0,14)
944 条	176 条	0 条	944 条
(7,6,5)	(8,1,3)	(8,3,14)	(8,7,5)
176 条	176 条	944 条	176 条
(10,5,15)	(11,6,1)	(12,1,7)	(12,5,3)
176 条	176 条	0 条	0 条
(12,7,1)	(13,0,10)	(13,0,7)	(13,8,2)
0 条	944 条	176 条	944 条

由第 2.3 节可知,用原始移位参数(8,1,2)搜索 SIMON 的 11 轮不可能差分路径条数为 32 条,搜索到 12 轮不



可能差分路径条数为 0 条,结果均小于或等于 $\Delta$ 中元素搜索到的条数.可见,SIMON 原始参数更能抵抗不可能差分攻击.

## 5 总结

本文提出了一种 SIMON 不可能差分及零相关路径自动化搜索算法.利用该算法,我们能够快速地搜索到更多条数的 11 轮 SIMON 不可能差分及零相关路径.该算法还可以准确地判断任意差分对(掩码对)能否构成一条不可能差分(零相关路径).此外,我们还给出了特定输入输出差分集合下,SIMON 算法不存在 12 轮不可能差分路径的结论.最后,我们从抵抗不可能差分攻击的角度,对 SIMON 循环移位参数的安全性进行估计,并验证了相对于其他参数,SIMON 原始参数具有更强的抵抗不可能差分攻击能力.在后续工作中,我们拟对该算法做出进一步的优化,并将其推广到其他结构的分组密码上.

## References:

- [1] Bogdanov A, Knudsen LR, Leander G, Paar C, Poschmann A, Robshaw MJB, Seurin Y, Vikkelsoe C. PRESENT: An ultra-lightweight block cipher. In: Proc. of the CHES 2007. LNCS 4727, Berlin: Springer-Verlag, 2007. 350–466.
- [2] Borghoff J, Canteaut A, Gneysu T, Lender G, *et al.* PRINCE—A low-latency block cipher for pervasive computing applications: Extended abstract. In: Proc. of the ASIACRYPT 2012. LNCS 7658, Berlin: Springer-Verlag, 2012. 208–225.
- [3] De Cannière C, Dunkelman O, Knezevic M. KATAN and KTANTAN: A family of small and efficient hardware-oriented block ciphers. In: Proc. of the CHES 2009. LNCS 5747, Berlin: Springer-Verlag, 2009. 272–288.
- [4] Albrecht MR, Driessen B, Kavun EB, Leander G, Paar C, Yalcin T, *et al.* Block ciphers-focus on the linear layer (feat. PRIDE). In: Proc. of the CRYPTO 2014. LNCS 8616, Berlin: Springer-Verlag, 2014. 57–76.
- [5] Beaulieu R, Shors D, Smith J, Clark ST, Weeks B, Wingers L. The SIMON and SPECK families of lightweight block ciphers. Technical Report, 2013/404, 2013.
- [6] Abed F, List E, Lucks S, Wenzel J. Differential and linear cryptanalysis of reduced-round SIMON. Technical Report, 526, 2013.
- [7] Alkhzaimi H, Lauridsen M. Cryptanalysis of the SIMON family of block ciphers. Technical Report, 543, 2013.
- [8] Alizadeh J, Bagheri N, Gauravaram P, Kumar A, Sanadhya SK. Linear cryptanalysis of round reduced SIMON. Technical Report, 663, 2013.
- [9] Abed F, List E, Lucks S, Wenzel J. Cryptanalysis of the SPECK family of block ciphers. Technical Report, 568, 2013.
- [10] Abed F, List E, Lucks S, Wenzel J. Differential cryptanalysis of round-reduced SIMON and SPECK. In: Proc. of the FSE 2014. LNCS 8540, Berlin: Springer-Verlag, 2014. 525–545.
- [11] Biryukov A, Roy A, Velichkov V. Differential analysis of block ciphers SIMON and SPECK. In: Proc. of the FSE 2014. LNCS 8540, Berlin: Springer-Verlag, 2014. 546–570.
- [12] Yu XL, Wu WL, Shi ZQ, Member S, Shi ZQ, Zhang J, Zhang L, Wang YF. Zero-Correlation linear cryptanalysis of reduced-round SIMON. Journal of Computer Science and Technology, 2015,30(6):1358–1369.
- [13] Köbl S, Leander G, Tiessen T. Observations on the SIMON block cipher family. In: Proc. of the CRYPTO 2015. LNCS 9215, Berlin: Springer-Verlag, 2015. 161–185.
- [14] Biham E, Biryukov A, Shamir A. Cryptanalysis of skipjack reduced to 31 rounds using impossible differentials. In: Proc. of the EUROCRYPT'99. Berlin, Heidelberg: Springer-Verlag, 1999. 12–23.
- [15] FIPS PUB 197. Announcing the Advanced Encryption Standard (AES). Washington: National Institute of Standards and Technology, 2001.
- [16] Matsui M. New block encryption algorithm MISTY. In: Proc. of the FSE'97. LNCS 1267, Berlin: Springer-Verlag, 1997. 64–67.
- [17] Bogdanov A, Rijmen V. Linear hulls with correlation zero and linear cryptanalysis of block ciphers. Designs, Codes and Cryptography, 2014,70(3):369–383.
- [18] Kim J, Hong S, Lim J. Impossible differential cryptanalysis using matrix method. Discrete Mathematics, 2010,310(5):988–1002.
- [19] Luo YY, Lai XJ, Wu ZM, Gong G. A unified method for finding impossible differentials of block cipher structures. Information Sciences, 2014,263(1):211–220.

- [20] Cui TT, Jia KT, Fu K, Chen SY, Wang MQ. New automatic search tool for impossible differentials and zero-correlation linear approximations. IACR Cryptology ePrint Archive, 2016. <https://eprint.iacr.org/2016/689.pdf>
- [21] Wang QJ, Liu ZQ, Varici K, Sasaki Y, Rijmen V, Yosuke T. Cryptanalysis of reduced-round SIMON32 and SIMON48. In: Proc. of the INDOCRYPT 2014. LNCS 8885, Berlin: Springer-Verlag, 2014. 143–160.

张仕伟(1988—),男,河北迁安人,硕士生,主要研究领域为密码学,信息安全.

陈少真(1967—),女,博士,教授,博士生导师,主要研究领域为密码学,信息安全.

www.jos.org.cn

www.jos.org.cn